УДК 537.533

## ОПТИМИЗАЦИЯ КОЭФФИЦИЕНТА ПРОПУСКАНИЯ ТЕПЛООТРАЖАЮЩИХ ПОКРЫТИЙ

В.Г. Дыскин

HПО «Физика – Солнце» АН Республики Узбекистан. Физико-технический институт,г. Ташкент E-mail: dyskin@uzsci.net

Приведены результаты компьютерной оптимизации визуального коэффициента пропускания  $T_V$  теплоотражающих покрытий  $SnO_2$ -Ag- $SnO_2$  и  $TiO_2$ -Ag- $TiO_2$  с защитными слоями. Установлено, что для выполнения условия  $T_V = 80$  % толщина защитных слоев серебра для  $SnO_2$ -Ag- $SnO_2$  не должна превышать 1,5 нм, а для  $TiO_2$ -Ag- $TiO_2$  — 2 нм. Показано, что теплоотражающие покрытия с одним защитным слоем имеют лучшие оптические характеристики по сравнению с теплоотражающими покрытиями с двумя защитными слоями.

В результате нефтяных кризисов и постоянного роста цен на топливо актуальной задачей становится не только освоение и развитие энергетики на основе альтернативных, например возобновляемых источников энергии, но и внедрение энергосберегающих технологий в строительство жилых, административных и промышленных зданий. Применение в строительстве энергосберегающего остекления уменьшает потребление энергии зимой на обогрев зданий, летом на их охлаждение. Основным элементом конструкций энергосберегающего остекления являются или теплопоглощающие, или нейтрально-окрашенные, или теплоотражающие стекла [1—4].

Теплоотражающее стекло — это листовое стекло, на которое нанесено теплоотражающее покрытие (ТОП), представляющее собой селективное диэлектрик-металл-диэлектрик покрытие. Применение трехслойной структуры ТОП обусловлено тем, что для увеличения адгезии металла со стеклом наносят промежуточный слой, а для уменьшения коэффициента отражения металла и защиты его от воздействия окружающей среды наносят просветляющий слой. В качестве металлического слоя используются тонкие пленки из Cr, Ni, Ag, Cu, Au, Al, но основным металлом ТОП является серебро, которое сильно отражает солнечное излучение в инфракрасной области спектра и имеет маленькую степень поляризации даже при больших углах падения излучения [5, 6].

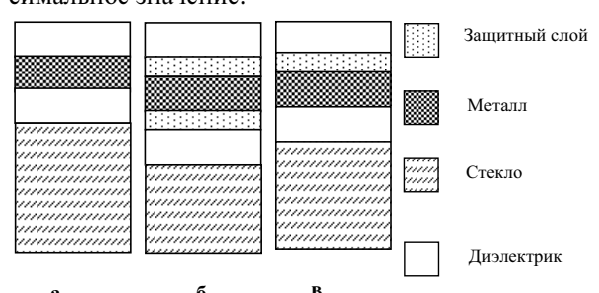
В промышленных масштабах нанесение ТОП на плоское строительное стекло осуществляется на магнетронных распылительных установках. Для защиты слоя серебра от воздействия кислородной плазмы при магнетронном способе нанесения покрытий применяют защитные (барьерные) слои [1—4]. Так как металлы, полупроводники, окислы и т. д. образуют сплошные пленки при разных толщинах, то исследование влияния структуры, материала и толщины барьерных слоев на оптические характеристики ТОП представляет практический интерес.

Цель данной работы — методом компьютерного моделирования исследовать влияние структуры, материала и толщины слоев на оптические характеристики теплоотражающих покрытий, определить оптимальные толщины защитных слоев. В качестве объекта исследования были выбраны  $TO\Pi$   $SnO_2$ -Ag- $SnO_2$  (SAS) и  $TiO_2$ -Ag- $TiO_2$  (TAT).

В качестве критерия оптимизации ТОП выбран визуальный коэффициент пропускания  $T_v$ , который определяется по формуле

$$T_{v} = \frac{\int_{\lambda_{1}}^{\lambda_{2}} E(\lambda)V(\lambda)T(\lambda)d\lambda}{\int_{\lambda_{1}}^{\lambda_{2}} E(\lambda)V(\lambda)d\lambda},$$
 (\*)

где  $V(\lambda)$  — относительная спектральная чувствительность человеческого глаза [7],  $T(\lambda)$  — коэффициент пропускания системы ТОП — стекло,  $\lambda_1$  и  $\lambda_2$  границы видимой области спектра, спектра,  $E(\lambda)$  — стандартный спектр прямого потока солнечного излучения АМ1.5 [8]. Спектр нормирован на максимальное значение.



**Рис. 1.** Структура ТОП без защитных слоев (а), с двумя защитными слоями (б), с одним защитным слоем (в). Нумерация слоев сверху вниз

Под оптимизацией в данной работе подразумевается поиск структур, материалов и толщин слоев ТОП, для которых  $T_{\nu}$  имеют наибольшие значения. Материалы, толщины слоев и структуры ТОП, реализующие наибольшие значения  $T_{\nu}$ , далее именуем оптимальными.

Компьютерные методы проектирования оптических покрытий основаны на использовании математических методов многопараметрической оптимизации [9–11]. Известно, что результаты оптимизации зависят от выбора начальных значений оптимизируемых параметров, поэтому в настоящей работе поиск наибольшего значения (\*) осуществлялся методом перебора толщин слоев. Шаг изменения толщины выбирался не меньше, чем точность, с которой можно наносить слои, а интер-

вал изменения толщины слоев выбирался так, чтобы он включал в себя все значения, которые имеют место на практике

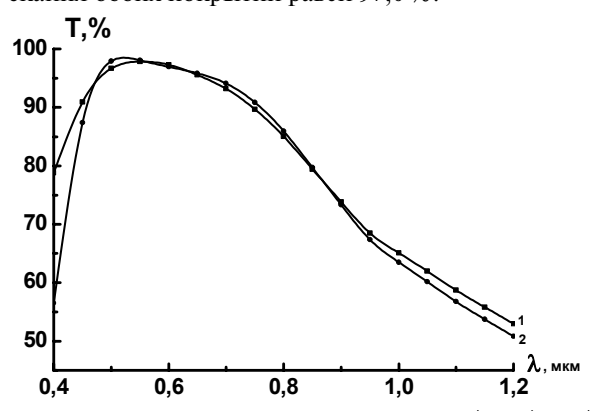
$$d_i \in [0,75d_{\min},1,25d_{\max}],$$
  

$$d_{\min} = \min(\gamma_1,\gamma_2),$$
  

$$d_{\max} = \max(\gamma_1,\gamma_2),$$

где  $d_i$  — толщина i-го слоя покрытия,  $\gamma_1$ =0,25 $\lambda_1/n_1$ ,  $\gamma_2$ =0.25 $\lambda_2/n_2$ ,  $n_1$ ,  $n_2$  — показатели преломления i-го слоя для  $\lambda_1$ =0,40 мкм  $\lambda_2$ =0,75 мкм. Толщина слоя серебра 12 нм, соответствующая сплошной пленке, при моделировании оставалась постоянной. Описание математической модели многослойной тонкопленочной системы и рекуррентные формулы для вычисления коэффициентов отражения, пропускания, поглощения приведены в [9]. Показатель преломления стекла принят равным 1,5. Интеграл рассчитывался численно, Оптические постоянные материалов слоев заимствованы из [10—14].

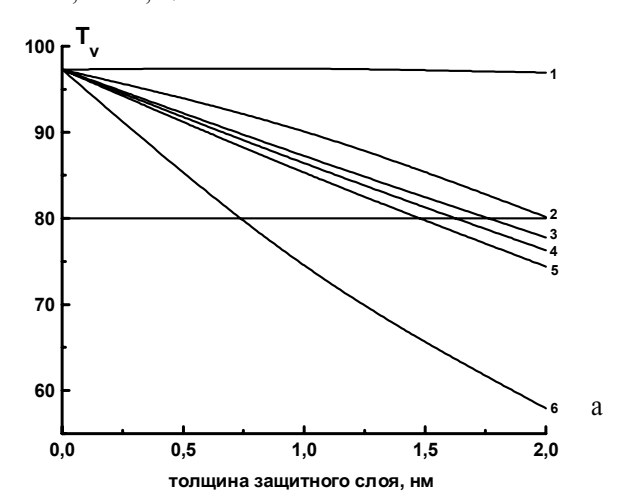
Была выполнена оптимизация толщин слоев SAS и TAT без защитных слоев (рис. 1, *a*). Расчеты показали (рис. 2), что для оптимальных толщин коэффициенты пропускания в инфракрасной области спектра практически не отличаются друг от друга, а в коротковолновой области спектра TAT имеет лучшие по сравнению с SAS оптические характеристики. Визуальный коэффициент пропускания обоих покрытий равен 97,0 %.

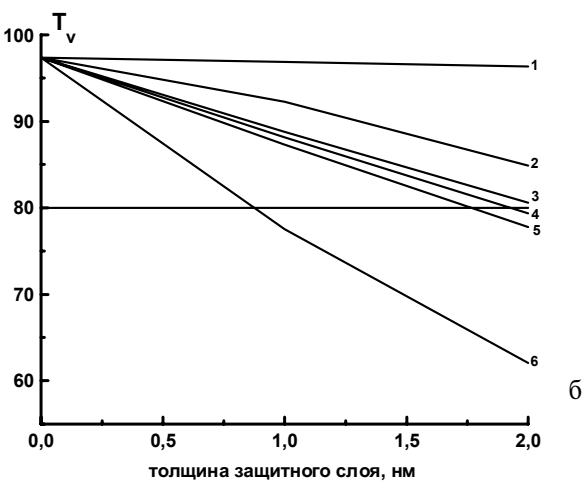


**Рис. 2.** Спектральный коэффициент пропускания: 1) SnO₂(44 нм) -Ag-SnO₂(55 нм) и 2) TiO₂(39 нм)-Ag-TiO₂(47 нм)

На рис. 3 приведены результаты расчетов зависимости  $T_{\nu}$  от толщины защитного слоя для разных материалов. Требования к материалу защитного слоя очевидны: минимальное уменьшение  $T_{\nu}$ , стойкость к воздействию агрессивной кислородной среды, способность образовывать на поверхности слоев сплошные пленки малой толщины. Моделирование показало, что для ТОП с барьерными слоями (рис.  $1, \delta$ ) оптимальной является симметричная структура, т. е. структура с равными толщинами защитных слоев. Предельную толщину и оптимальный материал защитного слоя можно определить, используя условие  $T_{\nu} = T_{\nu, \min}$ , где  $T_{\nu, \min} = 30$  % (на рис. 3 — линия, параллельная оси абсцисс), то:

- максимальная толщина защитных слоев для SAS – 1,5 нм, для TAT – 2 нм;
- использование хрома в качестве защитного слоя нецелесообразно;
- использование Ті в качестве защитного слоя вместо Ni<sub>85</sub>Cr<sub>15</sub> уменьшает продолжи-тельность рабочего цикла напыления (не нужно тренировать мишени из сплава Ni-Cr в плазме магнетронного разряда);
- барьерные слои толщиной 1,5 нм и 2 нм из Al, Ti, Ni<sub>85</sub>Cr<sub>15</sub>, Ni уменьшают визуальный коэффициент пропускания SAS на 10 и 20 %, а TAT на 8,0 и 17,0 %.





**Рис. 3.** Влияние толщины защитных слоев на визуальный коэффициент пропускания TiO₂-Ag-TiO₂ (a) и SnO₂-Ag-SnO₂ (б). Для разных материалов: 1) Si, 2) Al, 3) Ti, 4) Ni<sub>85</sub>Cr<sub>15</sub>, 5) Ni, 6) Cr

Для улучшения оптических характеристик ТОП в [4] предлагается использовать один защитный слой (рис. 1, в). С целью сравнения оптических характеристик для тех же материалов была выполнена оптимизация визуального коэффициента пропускания ТОП с одним защитным слоем. Результаты оптимизации приведены в таблице.

Сравнение значений  $T_{\nu}$  и рис. 4 указывают на преимущество ТОП с одним защитным слоем по

сравнению с двумя. Очевидно, что применение одного защитного слоя возможно, если серебро не диффундирует в диэлектрический и защитный слои.

**Таблица.** Результаты расчётов Т<sub>√</sub> для ТОП с одним (значение сверху) и двумя (значение снизу) защитными слоями

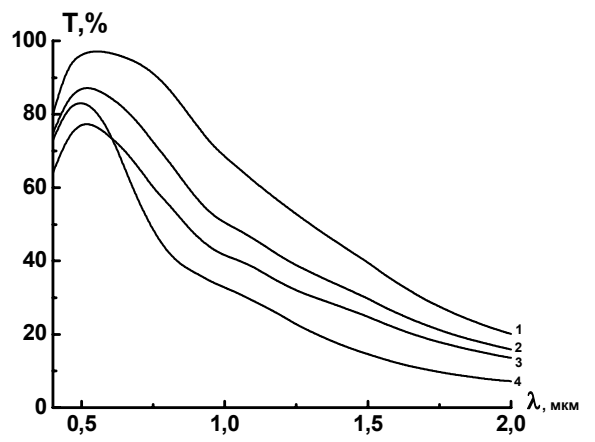
	SnO <sub>2</sub> -Ag-SnO <sub>2</sub>		TiO <sub>2</sub> -Ag-TiO <sub>2</sub>	
Барьерный слой	1 нм	2 нм	1 нм	2 нм
Al	94,1	89,9	94,9	92,1
	90,0	80,1	92,3	84,9
Ti	92,0	86,6	92,7	88,2
	87,2	77,8	88,9	80,6
Ni <sub>85</sub> Cr <sub>15</sub>	91,5	85,8	92,3	87,5
	86,4	76,3	88,1	79,4
Ni	91,0	84,8	91,6	86,7
	85,4	74,4	87,3	77,8

Следует отметить, что применение  $SnO_2$  в производстве ТОП обусловлено тем, что ее коэффициент распыления (соответственно и скорость осаждения) в несколько раз выше, чем у  $TiO_2$  [14]. Наш взгляд, модификация конструкции магнетронных распылительных установок с целью повышения

## СПИСОК ЛИТЕРАТУРЫ

- Слепцов В.В., Спиваков Д.Д., Александров А.Ю. Теплосберегающие стекла и энергосбережение // Теплоэнергетика. – 1999. – № 4. – С. 45–47.
- 2. Минько Н.И., Михальчук И.Н., Липко М.Ю. Модифицирование поверхности листового стекла // Стекло и керамика. 2000. № 4. C. 3-7.
- Martin-Palma R.J., Vázquez L., Martinez-Duart J.M., Malats-Riera. Silver-based low-emissivity coatings for architectural windows:
   Optical and structural properties // Solar Energy Materials and Collar Cells. 1998. № 5. P. 55–66.
- Баинов Д.Д., Кривобоков В.П., Легостаев В.Н. Оптимизация просветления теплоотражающих покрытий // Гелиотехника. – 2004. – № 3. – С. 85–91.
- Розенберг Г.В. Современное состояние теории оптических свойств полупрозрачных металлических покрытий // Успехи физических наук. – 1956. – Т. 58. – № 3. – С. 487–518.
- Введенский В.Д., Пинская Р.Я., Фурман Ш.А., Шестакова Т.В. Широкополосные отражатели на основе пленок серебра // Оптико-механическая промышленность. – 1983. – № 12. – С. 48.
- 7. Иродов И.Е. Задачи по общей физике. M: Hayka. 1979. 368 с.
- 8. Колтун М.М. Солнечные элементы. M: Наука. 1987. 192 c.

коэффициента распыления материалов мишени, будет способствовать внедрению в производство ТОП на основе TiO, [15].



**Рис. 4.** Спектральный коэффициент пропускания  $TiO_2$ - $Ag-TiO_2$  (1, 3) и  $SnO_2$ - $Ag-SnO_2$  (2, 4) с одним (1, 2) и двумя (3, 4) защитными слоями  $Ni_{88}Cr_{15}$ 

Автор благодарит доктора физ.-мат. наук, профессора В.П. Кривобокова за обсуждение работы и полезные замечания.

- Яковлев П.Г., Мешков Б.Б. Проектирование интерференционных покрытий. М.: Машиностроение. 1987. 186 с.
- Химмельблау Д. Прикладное нелинейное программирование.

   М.: Мир, 1975.
   534 с.
- 11. Гуснин С.Ю., Омельянов Г.А., Резников Г.А., Сироткин В.С. Минимизация в инженерных расчетах на ЭВМ. М.: Машиностроение, 1981. 121 с.
- Золотарев В.М., Морозов В.Н., Смирнова Е.В. Оптические постоянные природных и технических сред. – Л.: Химия, 1984. – 215 с.
- Сасовская И.И, Носков М.М. Оптические свойства никеля // Физика металлов и металловедение. — 1971. — Т. 32. — № 4. — С. 723—727.
- Горбань Н.Я., Стащук В.С., Шишловский А.А. Особенности поглощения света в сплавах Ni-Cr // Журнал прикладной спектроскопии. – 1974. – Т. 20. – № 5. – С. 881–885.
- Плешивцев Н.В. Физические проблемы катодного распыления. М.: ИАЭ им. И.В. Курчатова, 1979. 80 с.
- Жуков В.В., Кривобоков В.П., Янин С.Н. Распыление мишени магнетронного диода в присутствии внешнего ионного пучка // Журнал технической физики. – 2006. – Т. 76. – № 4. – С. 61–67.

Поступила 15.09.2006 г.